

Замкнутые геодезические на правильных тетраэдрах в пространстве Лобачевского

А. А. Борисенко, Д. Д. Сухоробская

Аннотация. В работе найдены необходимые условия, которым должна удовлетворять простая замкнутая геодезическая на правильном тетраэдре в пространстве Лобачевского. Так же найдены и описаны явно три класса простых замкнутых геодезических: 2-однородные, 3-однородные и (3,2)-однородные геодезические. В каждом классе существует ровно одна, с точностью до изометрии тетраэдра, геодезическая данного типа.

Ключевые слова: простые замкнутые геодезические, правильный тетраэдр, пространство Лобачевского.

MSC: 53C22, 52B10

Введение

В 1905 году в связи с задачей трех тел А. Пуанкаре выдвинул гипотезу о существовании замкнутой геодезической без точек самопересечения на гладкой замкнутой выпуклой поверхности в трехмерном евклидовом пространстве. В 1917 году Дж. Биркгоф доказал, что на римановом многообразии произвольной размерности гомеоморфном сфере существует по крайней мере одна замкнутая геодезическая [1]. В 1929 году Л. Люстерник и Л. Шнирельман показали, что на двумерном римановом многообразии, гомеоморфном сфере, существуют по крайней мере три замкнутые несамопересекающиеся геодезические [2]. Однако, доказательство Люстерника и Шнирельмана было неполное. Позднее Д. В. Аносову и И. А. Тайманову удалось получить полное доказательство этой теоремы [3], [4]. Но их доказательство существенно использовало теорему Жордана для двумерной сферы, и поэтому не могло быть обобщено на многообразия большей размерности. В. Клиngenберг обобщил эту теорему на компактное односвязное многообразие произвольной размерности, используя несколько другой подход [5].

Интерес представляет рассмотреть геодезические на негладких поверхностях, в том числе на выпуклых многогранниках. В [7] рассматривался вопрос существования замкнутой геодезической без самопересечения на произвольном замкнутом

многограннике в евклидовом пространстве. В частности, на тетраэдре не существует замкнутой не самопересекающейся геодезической, если суммарная кривизна любых двух его вершин не равна 2π . Известно так же, что, если на многограннике в евклидовом пространстве существует хотя бы одна замкнутая геодезическая, то существует бесконечно много геодезических, пересекающих те же ребра в том же порядке.

В. Ю. Протасов в своей работе [8] получил условие существования замкнутой геодезической без самопересечения на произвольном симплексе и оценку на их количество. Д. Фукс и К. Фукс дополнили и систематизировали результаты по замкнутым геодезическим на правильных многогранниках в трехмерном евклидовом пространстве [9], [10].

Мы рассмотрели задачу нахождения замкнутых геодезических на правильном тетраэдре в пространстве Лобачевского. В евклидовом пространстве грани многогранника имеют нулевую гауссову кривизну и вся кривизна многогранника сосредоточена только в вершинах. В пространстве Лобачевского грани многогранника имеют отрицательную гауссову кривизну. Т.е. кривизна многогранника в пространстве Лобачевского определяется не только вершинами, но и гранями. Кроме того, если все правильные тетраэдры в евклидовом пространстве подобны, то в пространстве Лобачевского внутренняя геометрия правильного тетраэдра зависит от плоского угла грани тетраэдра. В связи с этим поведение замкнутых геодезических на правильном тетраэдре в пространстве Лобачевского отличается от евклидового случая.

1 Формулировка результатов

Геодезической называется локально кратчайшая кривая.

На выпуклом многограннике геодезическая обладает следующими свойствами [6]:

- 1) геодезическая состоит из прямолинейных отрезков на гранях многогранника.
- 2) углы, которые она образует с ребром на соседних гранях равны.
- 3) геодезическая не может проходить через вершину выпуклого многогранника.

Замечание 1.1. *Под прямолинейным отрезком понимаем отрезок геодезической пространства постоянной кривизны.*

Геодезическую будем называть *простой* если она не имеет точек самопересечения.

Пусть простая геодезическая γ на многограннике начинается в точке X на ребре. Далее пусть она идет по грани, пересекает другое ребро этой же грани в точке Y и переходит на соседнюю грань, и так далее. Будем разворачивать по

очереди все грани вдоль геодезической на плоскость. Полученный в процессе такого разворачивания многоугольник будем называть *разверткой* многогранника. Геодезическая γ многогранника будет соответствовать прямолинейному отрезку на развертке (см. рис. 1).

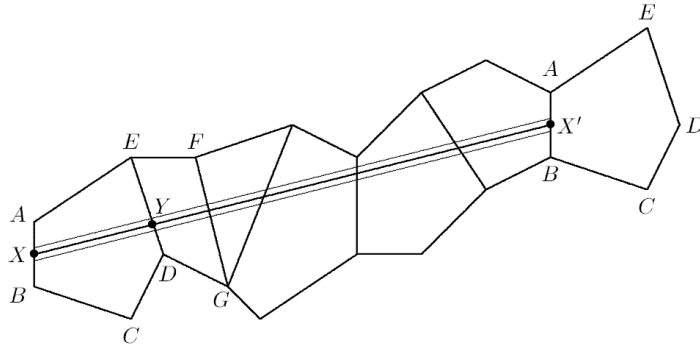


Рис. 1:

В работе рассматриваются замкнутые геодезические на правильных тетраэдрах в пространстве Лобачевского.

Правильным тетраэдром в трехмерном пространстве Лобачевского называется выпуклый замкнутый многогранник, все грани которого являются правильными треугольниками, а вершины – правильными трехгранными углами.

Заметим, что плоский угол грани правильного тетраэдра в пространстве Лобачевского всегда меньше $\frac{\pi}{3}$. Причем существует только один правильный тетраэдр с заданным плоским углом грани.

Длина ребра тетраэдра равняется

$$a = \operatorname{arch}\left(\frac{\cos \alpha}{1 - \cos \alpha}\right), \quad (1.1)$$

где α - плоский угол грани правильного тетраэдра, $0 < \alpha < \frac{\pi}{3}$.

Рассмотрим пространство Лобачевского в модели Кэли-Клейна, т.е. в единичном шаре в евклидовом пространстве [12], [13]. Поместим тетраэдр так, чтобы центр описаной вокруг него окружности совпадал с центром сферы, которая является абсолютотом. Тогда правильный тетраэдр в пространстве Лобачевского можно сопоставить с правильным тетраэдром в евклидовом пространстве.

Будем называть ребра тетраэдра противоположными, если они не имеют общих вершин.

Найдено необходимое условие того, чтобы геодезическая на правильном тетраэдре в пространстве Лобачевского будет простой и замкнутой.

Теорема 1. *Простая замкнутая геодезическая на правильном тетраэдре в пространстве Лобачевского проходит через середины двух пар противоположных ребер.*

Известно, что в евклидовом пространстве замкнутые геодезические на правильном тетраэдре не имеют точек самопересечения, не проходят через вершины тетраэдра, но могут проходить на сколь угодно близком расстоянии от них.

Однако, в пространстве Лобачевского простая замкнутая геодезическая не может проходить близко к вершинам тетраэдра.

Пусть $A_1A_2A_3A_4$ правильный тетраэдр в пространстве Лобачевского и γ замкнутая геодезическая на нем. Обозначим d_i расстояние от вершины A_i тетраэдра до γ . Тогда $d = \min_{i=\overline{1,4}} d_i$ есть наименьшее из расстояний от вершин тетраэдра до γ . Верна

Теорема 2. Пусть γ простая замкнутая геодезическая на правильном тетраэдре в пространстве Лобачевского. Тогда

$$\operatorname{th}(d) > \cos\left(\frac{3\alpha}{2}\right) \frac{\sqrt{2 \cos(\alpha) - 1}}{\cos(\alpha)}, \quad (1.2)$$

где α — плоский угол грани тетраэдра.

Приведем примеры простых замкнутых геодезических на любом правильном тетраэдре в пространстве Лобачевского.

Геодезическую будем называть *2-однородной*, если она пересекает подряд только два ребра, исходящие из одной вершины. Обозначим через $\Gamma(2)$ класс замкнутых 2-однородных геодезических.

Геодезическую будем называть *3-однородной*, если она обладает следующими свойствами:

- 1) если геодезическая пересекает подряд два ребра, исходящие из одной вершины, то пересекает подряд и третье ребро, исходящее из той же вершины;
- 2) для каждой вершины тетраэдра существует луч такой, что он не пересекает отрезки геодезической, находящиеся на гранях при этой вершине.

Класс замкнутых 3-однородных геодезических обозначим через $\Gamma(3)$.

Геодезическую будем называть *(3,2)-однородной*, если она пересекает по три ребра, исходящие из двух различных вершин, далее пересекает по два ребра, исходящие из двух различных вершин, потом снова пересекает по три ребра, исходящие из двух различных вершин, и далее опять пересекает по два ребра, исходящие из двух различных вершин и т.д.

Теорема 3. На любом правильном тетраэдре в пространстве Лобачевского существует, с точностью до изометрии тетраэдра, ровно одна замкнутая геодезическая в каждом классе $\Gamma(2)$, $\Gamma(3)$ и $\Gamma(3,2)$, и она является простой.

2 Замкнутые геодезические на правильных тетраэдрах

2.1 Обзор по замкнутым геодезическим на правильных многогранниках в евклидовом пространстве [9]

На *правильном тетраэдре* в евклидовом пространстве существует бесконечно много простых замкнутых геодезических, так как любая замкнутая геодезическая на нем в евклидовом пространстве не имеет точек самопересечения. Это связано с тем, что отрезки геодезических, которые находятся на одной грани тетраэдра параллельны между собой (см. рис. 7).

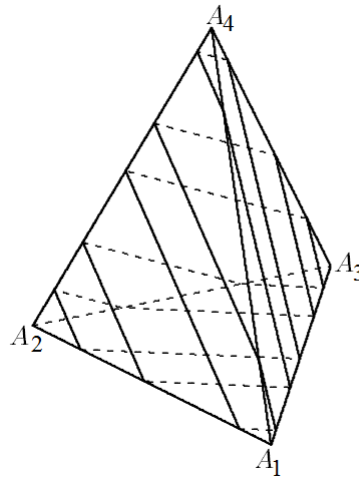


Рис. 2: Пример замкнутой геодезической на правильном тетраэдре в евклидовом пространстве

На *кубе* в евклидовом пространстве существует только три (с точностью до параллельного переноса и симметрии куба) простые замкнутые геодезические. Две из них плоские: одна образована пересечением куба плоскостью, параллельной к двум произвольным граням, а вторая образуется при пересечении куба плоскостью, ортогональной к главной диагонали. Третья геодезическая не плоская (см. рис. 3). Остальные замкнутые геодезические будут иметь точки самопересечения.

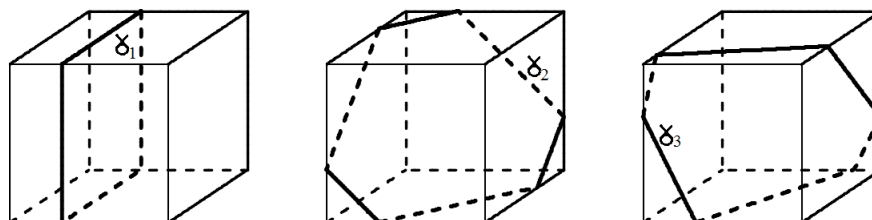


Рис. 3: Простые замкнутые геодезические на кубе в евклидовом пространстве

На *октаэдре* в евклидовом пространстве существуют только две замкнутые простые геодезические с точностью до параллельного переноса и симметрии октаэдра (см. рис. 4).

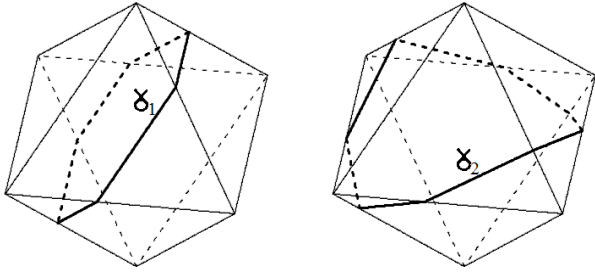


Рис. 4: Простые замкнутые геодезические на октаэдре в евклидовом пространстве

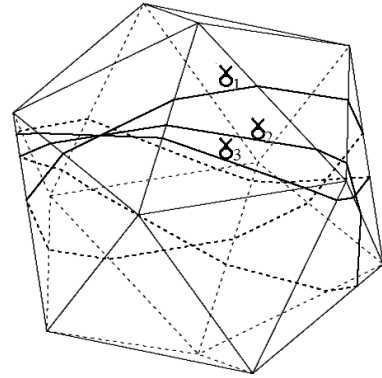


Рис. 5: Простые замкнутые геодезические на икосаэдре в евклидовом пространстве

В случае *икосаэдра* в евклидовом пространстве существует только три (с точностью до параллельного переноса и симметрии икосаэдра) простые замкнутые геодезические. Все они представлены на рис. 5. Одна из них плоская и образовывается пересечением икосаэдра плоскостью, ортогональной наибольшей диагонали. Такая геодезическая имеет наименьшую длину. Остальные две не плоские. Все остальные геодезические на икосаэдре будут иметь значительно большую длину и несколько точек самопересечения.

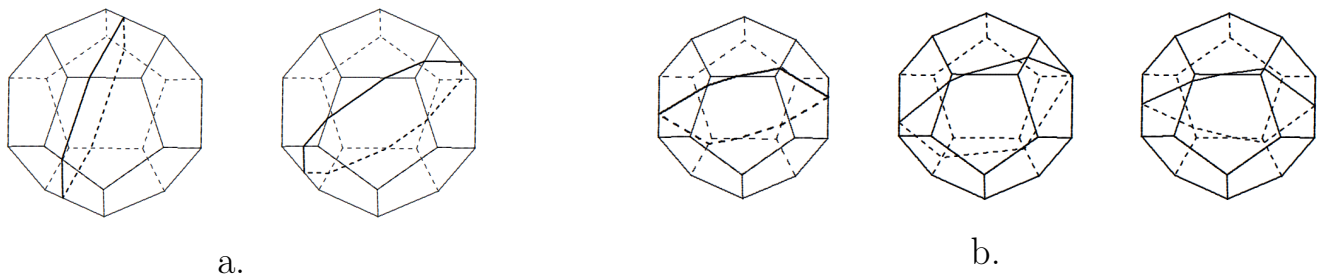


Рис. 6: Простые замкнутые геодезические на додекаэдре в евклидовом пространстве

Случай *додекаэдра* еще полностью не изучен. Он отличается от предыдущих тем, что его грани являются правильными пятиугольниками, и не существует разбиения евклидовой плоскости правильными пятиугольниками. Известно только, что существуют пять замкнутых геодезических не имеющих точек самопересечения (с точностью до параллельного переноса и автоморфизма додекаэдра). Две из них плоские (см. рис. 6а.) и три не плоские (см. рис. 6б.) [10].

2.2 Доказательство теоремы 1

Рассмотрим правильный тетраэдр в евклидовом пространстве $A_1A_2A_3A_4$ (см. рис.7). Пусть геодезическая γ начинается в точке X на ребре A_1A_2 и дальше идет по грани $A_1A_2A_4$. Развертка данного тетраэдра является частью триангуляции евклидовой плоскости. Обозначим вершины триангуляции A_1, A_2, A_3, A_4 в соответствии с вершинами на тетраэдре.

Для построения замкнутой геодезической следует выбрать два одинаково ориентированных ребра, например A_1A_2 , не лежащих на одной прямой, и взять две точки X и X' на одинаковых расстояниях от вершины A_1 соответственно. Следует отметить, что точки X и X' должны быть такими, что прямая γ , соединяющая их, не проходила через вершины триангуляции. Тогда прямая γ будет соответствовать замкнутой геодезической на тетраэдре $A_1A_2A_3A_4$. Таким образом, можно построить любую геодезическую на правильном тетраэдре в евклидовом пространстве (см. рис. 8).

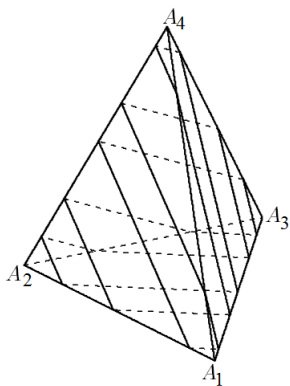


Рис. 7:

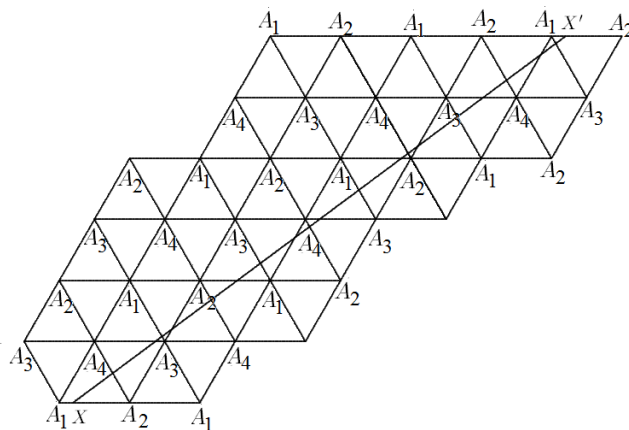


Рис. 8:

Замкнутые геодезические будем называть *эквивалентными*, если они пересекают ребра тетраэдра в одинаковом порядке [8].

Лемма 2.1. Пусть γ замкнутая геодезическая на правильном тетраэдре в евклидовом пространстве. Тогда существует замкнутая геодезическая γ_0 , эквивалентная γ , и проходящая через середины двух пар противоположных ребер.

Доказательство. Рассмотрим триангуляцию евклидовой плоскости, и вершины обозначим соответственно с вершинами тетраэдра A_1, A_2, A_3, A_4 (см. рис. 9). Пусть геодезическая γ начинается в точке X на ребре A_1A_2 . Развертка тетраэдра вдоль геодезической γ является частью триангуляции евклидовой плоскости.

Введем прямоугольную декартовую систему координат с началом в вершине A_1 и осью x вдоль ребра A_1A_2 , содержащего X . Тогда координаты вершин A_1, A_2, A_3 соответственно $(0, 0), (1, 0), (1/2, \sqrt{3}/2)$, а координаты X и X' соответственно $(\alpha, 0), (\alpha + q + 2p, q\sqrt{3})$, где $0 < \alpha < 1$.

Уравнение прямой XX' имеет вид $y = \frac{q\sqrt{3}}{q+2p}(x - \alpha)$.

Заметим, что, если p, q взаимно простые числа, то геодезическая не будет повторять себя [9].

Вначале покажем, что если геодезическая проходит через середину какого-то одного ребра, то она проходит через середину двух пар противоположных ребер. Предположим, что γ_0 проходит через середину ребра A_1A_2 . Тогда геодезическая γ_0 на развертке описывается уравнением

$$y = \frac{q\sqrt{3}}{q+2p}\left(x - \frac{1}{2}\right). \quad (2.1)$$

Вначале выпишем, какой вид имеют координаты каждой из вершин. Вершины A_3 и A_4 лежат на прямой $y = (2k+1)\frac{\sqrt{3}}{2}$, и первая координата этих точек имеет вид $x = l + \frac{1}{2}, l = 0, 1, 2, \dots$

Вершины A_1 и A_2 лежат на прямой $y = 2k\frac{\sqrt{3}}{2}$, и первая координата этих точек имеет вид $x = l, l = 0, 1, 2, \dots$

Выпишем, какое условие получается на числа p, q , если прямая γ_0 не проходит через вершины триангуляции, в частности через A_3, A_4 . Подставим координаты этих вершин в уравнение (2.1). Преобразовав, получим:

$$q(2l - 2k - 1) = 2p(2k + 1) \quad (2.2)$$

Если q является четным числом, то существуют k и l такие, что выполнено уравнение (2.2), а значит, существует вершина триангуляции, принадлежащая γ_0 . Так как γ_0 не пересекает вершины триангуляции, то q является нечетным числом, т.е. $q = 2k + 1$.

Итак, покажем, что γ_0 проходит через середины двух пар противоположных ребер.

Точка B_1 с координатами $(\frac{1}{2}, 0)$ и точка B'_1 с координатами $(q + 2p + \frac{1}{2}, q\sqrt{3})$ удовлетворяют уравнению (2.1) и соответствуют середине ребра A_1A_2 . Рассмотрим точку B_2 - середину отрезка $B_1B'_1$. Тогда координаты точки B_2 равны $(\frac{q}{2} + p + \frac{1}{2}, \frac{q}{2}\sqrt{3})$. Подставим $q = 2k + 1$. Получим координаты $(k + p + 1, (k + \frac{1}{2})\sqrt{3})$. Покажем, что B_2 является серединой ребра A_3A_4 . Так как k - целое число и вторая координата точки B_2 равняется $(k + \frac{1}{2})\sqrt{3}$, значит, точка лежит на линии между A_3 и A_4 . А так как первая координата точки B_2 является целым числом, то B_2 лежит строго посередине отрезка A_3A_4 . Получили, что если геодезическая на тетраэдре пересекает середину одного ребра, то она проходит и через середину ребра, противоположного к данному.

Рассмотрим точку C_1 - середину отрезка B_1B_2 . Координаты точки C_1 равняются $(\frac{q}{4} + \frac{p}{2} + \frac{1}{2}, \frac{q}{4}\sqrt{3})$. Подставим $q = 2k + 1$. Получим координаты точки $(\frac{k+p+1}{2} + \frac{1}{4}, (\frac{k}{2} + \frac{1}{4})\sqrt{3})$. Из второй координаты следует, что точка лежит на прямой $y = (k + \frac{1}{2})\frac{\sqrt{3}}{2}$, которая проходит посередине, между горизонтальными прямыми

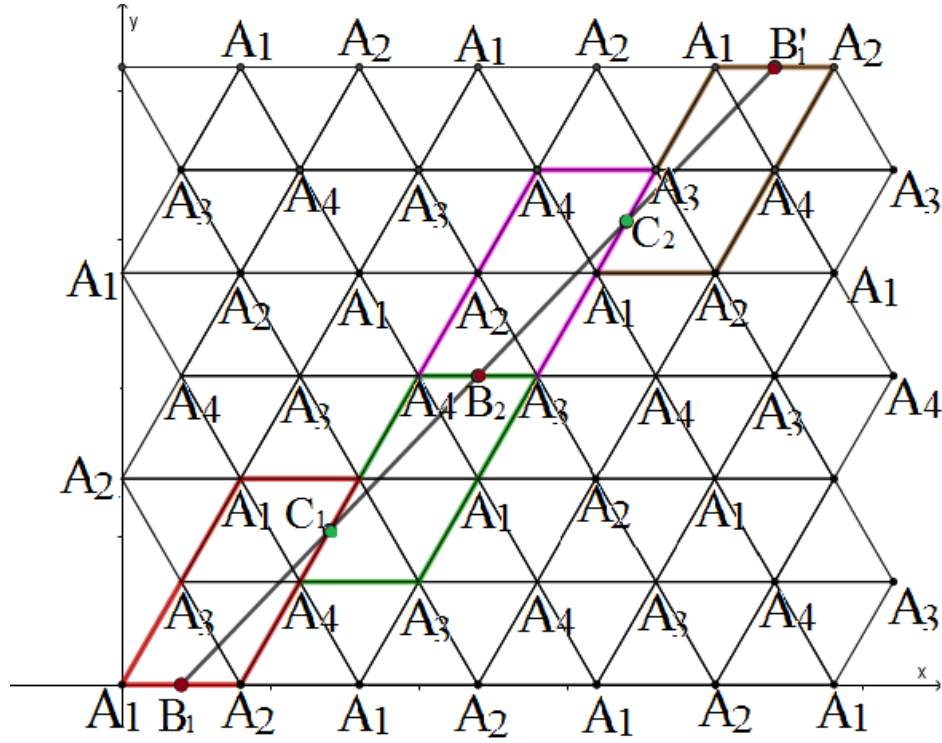


Рис. 9:

$y = k\frac{\sqrt{3}}{2}$ и $y = (k + 1)\frac{\sqrt{3}}{2}$. Из вида первой координаты получаем, что C_1 является серединой одной из сторон A_1A_3 , A_3A_2 , A_2A_4 или A_4A_1 (см. рис. 9).

Аналогично, если рассмотреть точку C_2 - середину отрезка $B_2B'_1$, то она будет иметь координаты $(\frac{3q}{4} + \frac{3p}{2} + \frac{1}{2}, \frac{3q}{4}\sqrt{3})$ и является серединой ребра, противоположного к ребру, которое содержит C_1 .

Осталось показать, что для любой геодезической γ существует эквивалентная ей геодезическая γ_0 , проходящая через середину хотя бы одного ребра тетраэдра. А тогда, по доказанному выше, γ_0 будет пересекать середины двух пар противоположных ребер.

Все геодезические, эквивалентные γ , удовлетворяют уравнению $y = \frac{q\sqrt{3}}{q+2p}(x - \alpha)$, где p, q фиксированные и существуют такие $\alpha_1, \alpha_2 \in [0, 1]$, что $\alpha_1 < \alpha < \alpha_2$. При чем прямые

$$\gamma_1 : y = \frac{q\sqrt{3}}{q+2p}(x - \alpha_1), \quad (2.3)$$

$$\gamma_2 : y = \frac{q\sqrt{3}}{q+2p}(x - \alpha_2) \quad (2.4)$$

проходят через вершины триангуляции.

Обозначим координаты вершин триангуляции евклидовой плоскости через (x_v, y_v) . Они удовлетворяют следующим условиям:

1) $y_v = c\frac{\sqrt{3}}{2}$, так как все вершины лежат на горизонтальных прямых $y = c\frac{\sqrt{3}}{2}$, где c — целое число.

2) если c — четное, т.е. $c = 2k$, то $x_v = l, l = 0, 1, 2, \dots$,
если c — нечетное, т.е. $c = 2k + 1$, то $x_v = l + \frac{1}{2}, l = 0, 1, 2, \dots$

Прямые γ_1 и γ_2 проходят через вершины развертки.

Это значит, что существуют такие c_1 и c_2 , что точки $(x_1, y_1) = (c_1\frac{q+2p}{2q} + \alpha_1, c_1\frac{\sqrt{3}}{2})$ и $(x_2, y_2) = (c_2\frac{q+2p}{2q} + \alpha_2, c_2\frac{\sqrt{3}}{2})$ лежат на γ_1 и γ_2 соответственно и являются вершинами триангуляции евклидовой плоскости.

Рассмотрим геодезическую

$$\gamma_0 : y = \frac{q\sqrt{3}}{q+2p} \left(x - \frac{\alpha_1 + \alpha_2}{2} \right).$$

Она будет проходить через точку $(x_0, y_0) = (\frac{x_1+x_2}{2}, \frac{y_1+y_2}{2})$. Это легко проверить, используя равенства (2.3), (2.4).

Теперь покажем, что точка (x_0, y_0) является серединой ребра триангуляции. Для этого рассмотрим три случая.

1) $c_1 = 2k_1, c_2 = 2k_2$, где k_1, k_2 — целые числа. Тогда $x_1 = l_1, x_2 = l_2$, где $l_1, l_2 = 0, 1, 2, \dots$ так как (x_1, y_1) и (x_2, y_2) вершины триангуляции.

Тогда координаты $(x_0, y_0) = (\frac{l_1+l_2}{2}, (k_1+k_2)\frac{\sqrt{3}}{2})$.

Если (k_1+k_2) четное число, то (l_1+l_2) должно быть нечетным числом, т.е. $l_1+l_2 = 2l_0+1$, поскольку геодезическая γ_0 не проходит через вершины триангуляции. А тогда $x_0 = l_0 + \frac{1}{2}$, а значит точка (x_0, y_0) является серединой ребра триангуляции.

Если (k_1+k_2) нечетное число, то (l_1+l_2) должно быть четным числом, т.е. $l_1+l_2 = 2l_0$. А тогда $x_0 = l_0$, и точка (x_0, y_0) является серединой ребра.

2) $c_1 = 2k_1 + 1, c_2 = 2k_2 + 1$, где k_1, k_2 — целые числа. Тогда $x_1 = l_1 + \frac{1}{2}, x_2 = l_2 + \frac{1}{2}$, где $l_1, l_2 = 0, 1, 2, \dots$

Тогда координаты $(x_0, y_0) = (\frac{l_1+l_2+1}{2}, (k_1+k_2+1)\frac{\sqrt{3}}{2})$.

Если (k_1+k_2) четное число, то (k_1+k_2+1) нечетное число. Тогда (l_1+l_2+1) должно быть четным числом, так как геодезическая γ_0 не проходит через вершины триангуляции, а значит $l_1+l_2 = 2l_0+1$. А тогда $x_0 = l_0 + \frac{1}{2}$, а значит точка (x_0, y_0) является серединой ребра триангуляции.

Аналогично, если (k_1+k_2) нечетное число, то (l_1+l_2+1) должно быть нечетным числом, а тогда $l_1+l_2 = 2l_0$. И точка (x_0, y_0) так же является серединой ребра триангуляции.

3) $c_1 = 2k_1, c_2 = 2k_2 + 1$, где k_1, k_2 — целые числа. Тогда $x_1 = l_1, x_2 = l_2 + \frac{1}{2}$, где $l_1, l_2 = 0, 1, 2, \dots$

Тогда $y_0 = (k_1 + k_2 + \frac{1}{2})\frac{\sqrt{3}}{2}$. Это значит, что точка (x_0, y_0) является серединой одной из сторон: или A_1A_3 , или A_3A_2 , или A_2A_4 , или A_4A_1 .

Получили, что точка (x_0, y_0) действительно является серединой ребра триангуляции.

Таким образом, мы нашли геодезическую γ_0 , которая проходит через середины двух пар противоположных ребер на правильном тетраэдре в евклидовом пространстве, и эквивалентная γ . Лемма 2.1 доказана. □

Следствие 2.1. *Замкнутая геодезическая γ_0 серединами двух пар противоположных ребер делится на четыре равные части.*

Следствие 2.2. *Развертка тетраэдра вдоль геодезической состоит из четырех равных многоугольников, причем любые два соседние из них можно совместить поворотом на угол π относительно середины общего ребра.*

Доказательство. (следствий 2.1, 2.2)

Для любой геодезической γ найдем эквивалентную ей геодезическую γ_0 , которая будет проходить через середины двух пар противоположных ребер. Пусть это ребра A_1A_2 , A_4A_3 и A_1A_4 , A_2A_3 .

Пусть точки B_1 , B_2 и C_1 , C_2 на геодезической γ_0 являются соответственно серединами противоположных ребер A_1A_2 , A_4A_3 и A_2A_3 , A_1A_4 .

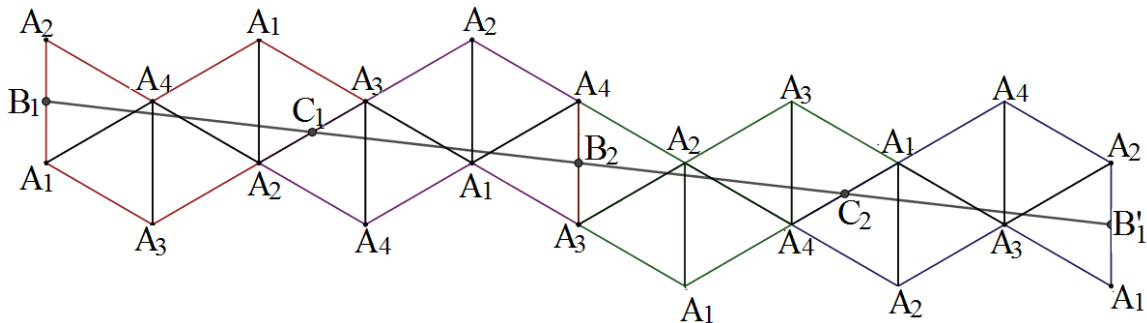


Рис. 10:

Будем идти вдоль γ_0 из точки B_1 в направлении, которое лежит на грани $A_1A_2A_4$. Геодезическая будет пересекать ребра тетраэдра в точках B_1 , M_1 , M_2 , ..., M_{k_1} , пока не попадет в точку C_1 . Обозначим этот участок геодезической $B_1M_1M_2...M_kC_1$ через γ_0^1 .

Далее из точки C_1 геодезическая будет пересекать ребра тетраэдра в точках N_1 , N_2 , ..., N_{k_2} , и придет в точку B_2 . Обозначим этот участок через γ_0^2 . Из точки B_2 геодезическая пересекает ребра тетраэдра в точках S_1 , S_2 , ..., S_{k_3} , попадет в

точку C_2 . Далее γ_0 будет пересекать ребра тетраэдра в точках T_1, T_2, \dots, T_{k_4} , и снова вернется в точку B_1 , причем отрезок $T_{k_4}B_1$ будет лежать на грани $A_1A_2A_3$. Обозначим участки геодезической $B_2S_1\dots S_{k_3}C_2$ и $C_2T_1\dots T_{k_4}B_1$ соответственно через γ_0^3 и γ_0^4 .

Рассмотрим поворот r тетраэдра на угол π относительно прямой, проходящей через точки B_1 и B_2 . Этот поворот является изометрией правильного тетраэдра, и переводит его вершины следующим образом: $r(A_1) = A_2$, $r(A_2) = A_1$, $r(A_3) = A_4$ и $r(A_4) = A_3$. Посмотрим, как при этом развернется геодезическая γ_0 .

Данный поворот оставляет точки B_1 и B_2 на месте, а $r(C_1) = C_2$, $r(C_2) = C_1$. Так как геодезическая пересекает ребра тетраэдра под одинаковым углом на соседних гранях, то $r(B_1M_1) = B_1T_{k_4}$, $r(B_1T_{k_4}) = B_1M_1$ и $r(B_2N_{k_2}) = B_2S_1$, $r(B_2S_1) = B_2N_{k_2}$. Рассматривая далее, получим, что $r(M_1M_2) = T_{k_4}T_{k_4-1}$, $r(T_{k_4}T_{k_4-1}) = M_1M_2$ и $r(N_{k_2}N_{k_2-1}) = S_1S_2$, $r(S_1S_2) = N_{k_2}N_{k_2-1}$. Продолжая аналогично, получаем, что $k_1 = k_4$, $k_2 = k_3$, и $r(\gamma_0^1) = \gamma_0^4$, $r(\gamma_0^4) = \gamma_0^1$ и $r(\gamma_0^2) = \gamma_0^3$, $r(\gamma_0^3) = \gamma_0^2$. Таким образом, поворот r тетраэдра геодезическую γ_0 оставляет на месте.

Поворот r тетраэдра является изометрией второго порядка. Этот поворот должен порождать изометрию развертки тетраэдра, которая так же будет иметь порядок два. На плоскости такой изометрией является либо центральный поворот на угол π , либо симметрия. Но так как r является собственным движением, значит и порожденная им изометрия развертки так же должна являться собственным движением. А значит, развертка тетраэдра должна быть центральносимметричной.

Рассмотрим развертку тетраэдра, начиная с точки B_1 в обе стороны вдоль геодезической. Из сказанного выше получаем, что развертка вдоль $B_1M_1\dots M_{k_1}C_1$ равна развертке вдоль $B_1T_{k_4}\dots T_1C_2$, и совместить эти развертки на плоскости можно поворотом на угол π относительно точки B_1 .

Аналогично развертка вдоль $B_2S_1\dots S_{k_3}C_2$ равна развертке вдоль $B_2N_{k_2}\dots N_1C_1$, и совмещаются они поворотом на угол π относительно точки B_2 .

Если рассмотреть аналогичный поворот тетраэдра на угол π относительно прямой, проходящей через точки C_1 и C_2 , то получим, что развертка вдоль γ_0^1 равна развертке вдоль γ_0^2 , а развертка вдоль γ_0^3 равна развертке вдоль γ_0^4 , и $k_1 = k_2$, $k_3 = k_4$. И каждая пара таких разверток совмещается поворотом на угол π относительно середины общего ребра.

Таким образом получаем, что все k_i равны между собой. Геодезическая серединами двух пар противоположных ребер делится на четыре равные части. Развертки вдоль каждой из этих частей являются равными многоугольниками, где любые два соседние из них совмещаются поворотом на угол π относительно середины общего ребра.

□

Если γ замкнутая геодезическая на правильном тетраэдре в евклидовом пространстве, то существует бесконечно много геодезических, эквивалентных γ [9].

Это не имеет место в пространстве Лобачевского. Верна

Лемма 2.2. *Если две замкнутые геодезические на правильном тетраэдре в пространстве Лобачевского эквивалентны между собой, то они совпадают.*

Доказательство. Рассмотрим замкнутую геодезическую γ_1 на правильном тетраэдре в пространстве Лобачевского. Пусть она начинается в точке X на грани A_1A_2 . Будем разворачивать на плоскость по очереди все грани, которые пересекает γ_1 . Так как геодезическая замкнутая, то на каком-то этапе она снова пересечет ребро A_1A_2 в точке X и далее будет повторять себя. На развертке обозначим эту точку через X' . Тогда геодезическая развернется в прямолинейный отрезок XX' и углы $XX'A_2$ и $X'XA_2$ в сумме будут равны π . (см. рис. 11)

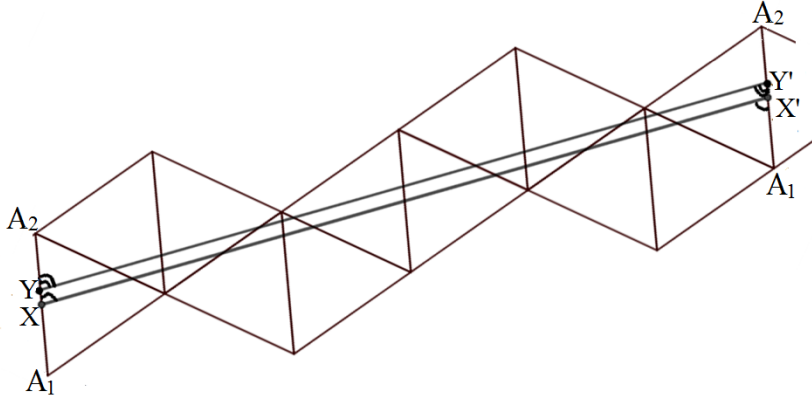


Рис. 11:

Предположим, что γ_2 замкнутая геодезическая, эквивалентная γ_1 , но не совпадающая с ней. Тогда она начинается в точке Y на ребре A_1A_2 , и Y не совпадает с X . Так как γ_2 пересекает те же ребра в том же порядке, что и γ_1 , то γ_2 будет соответствовать прямолинейному отрезку YY' на той же развертке. Так как γ_2 замкнутая, то углы $YY'A_2$ и $Y'YA_2$ в сумме тоже будут равны π . (см. рис. 11)

На развертке рассмотрим четырехугольник $XX'YY'$. Сумма внутренних углов этого четырехугольника будет равняться 2π .

Из теоремы Гусса-Бонне известно, что если Ω — компактное двумерное ориентированное риманово многообразие с кусочно-гладкой границей $\partial\Omega$, и в точках излома границы касательный вектор поворачивается на угол ϕ_i в сторону Ω , то:

$$\iint_{\Omega} K d\sigma + \int_{\partial\Omega} k_g ds + \sum_i \phi_i = 2\pi, \quad (2.5)$$

где k_g — геодезическая кривизна $\partial\Omega$, K — гауссова кривизна Ω .

В нашем случае область Ω это четырехугольник $XX'YY'$ на плоскости Лобачевского. Гауссова кривизна плоскости Лобачевского равна $K = -1$. Стороны

четырёхугольника являются геодезическими линиями, т.е. $k_g = 0$. Сумма внутренних углов четырёхугольника равна 2π . Подставляя в (2.5) получаем,

$$- \iint_{XX'YY'} d\sigma + 2\pi = 2\pi.$$

Пришли к противоречию.

Значит, замкнутая геодезическая γ_2 совпадает с γ_1 . □

Для доказательства теоремы 1 дадим, следуя [8], определение обобщенной ломаной.

Ломаной на тетраэдре будем называть кривую, состоящую из прямолинейных отрезков, которые последовательно соединяют точки на ребрах данного тетраэдра.

Обобщенной ломаной на произвольном тетраэдре в евклидовом пространстве будем называть замкнутую ломаную на этом тетраэдре, которая

- (1) не имеет точек самопересечений,
- (2) пересекает более трех ребер, и не проходит через вершины тетраэдра,
- (3) соседние звенья ломаной лежат на разных гранях.

Лемма 2.3. (*В. Ю. Протасов [8]*). *Каждая обобщенная ломаная на произвольном тетраэдре в евклидовом пространстве эквивалентна некоторой замкнутой геодезической на правильном тетраэдре в евклидовом пространстве.*

Теорема 1. *Простая замкнутая геодезическая на правильном тетраэдре в пространстве Лобачевского проходит через середины двух пар противоположных ребер.*

Доказательство. Рассмотрим простую замкнутую геодезическую γ на правильном тетраэдре в пространстве Лобачевского. Рассмотрим модель Кэли-Клейна пространства Лобачевского [13]. Тогда правильный тетраэдр в пространстве Лобачевского будет правильным тетраэдром в евклидовом пространстве. Геодезическая γ на правильном тетраэдре в пространстве Лобачевского перейдет в обобщенную ломаную на правильном тетраэдре в евклидовом пространстве.

По лемме 2.3 каждая обобщенная ломаная на произвольном тетраэдре в евклидовом пространстве эквивалентна некоторой замкнутой геодезической на правильном тетраэдре в евклидовом пространстве.

По лемме 2.1 любая геодезическая на правильном тетраэдре в евклидовом пространстве эквивалентна замкнутой геодезической, проходящей через середины двух пар противоположных ребер.

Поставим в соответствие произвольной замкнутой геодезической γ на правильном тетраэдре в пространстве Лобачевского эквивалентную ей замкнутую геодезическую $f(\gamma)$ на правильном тетраэдре в евклидовом пространстве такую, что $f(\gamma)$ проходит через середины двух пар противоположных ребер.

Пусть точки B_1, B_2 и C_1, C_2 на геодезической γ такие, что точки $f(B_1), f(B_2)$ и $f(C_1), f(C_2)$ соответствуют серединам двух пар противоположных ребер, через которые проходит $f(\gamma)$.

Рассмотрим развертку тетраэдра в пространстве Лобачевского вдоль геодезической γ , начиная с точки B_1 . Тогда γ перейдет в прямолинейный отрезок $B_1B'_1$ на развертке. Рассмотрим соответствующую развертку правильного тетраэдра в евклидовом пространстве вдоль $f(\gamma)$, и $f(\gamma)$ перейдет в отрезок $f(B_1)f(B'_1)$ на развертке.

Из следствия 2.2 получим, что участки развертки вдоль $f(B_1C_1), f(B_2C_1), f(B_2C_2)$ и $f(B'_1C_2)$ на евклидовой плоскости являются равными многоугольниками. Причем любые два соседние участки развертки можно совместить дуг с другом поворотом на угол π относительно середины общего ребра.

Значит аналогичные участки развертки вдоль B_1C_1, C_1B_2, B_2C_2 и $C_2B'_1$ на плоскости Лобачевского тоже являются равными многоугольниками, и так же любые два соседние из них можно совместить поворотом на угол π относительно середины общего ребра.

Обозначим через M_1, M_2, M'_1 и N_1, N_2 середины ребер, которые содержат точки B_1, B_2, B'_1 и C_1, C_2 соответственно.

Не ограничивая общности, предположим, что точка B_1 лежит на ребре A_1A_2 , а точка B_2 соответственно на ребре A_3A_4 .

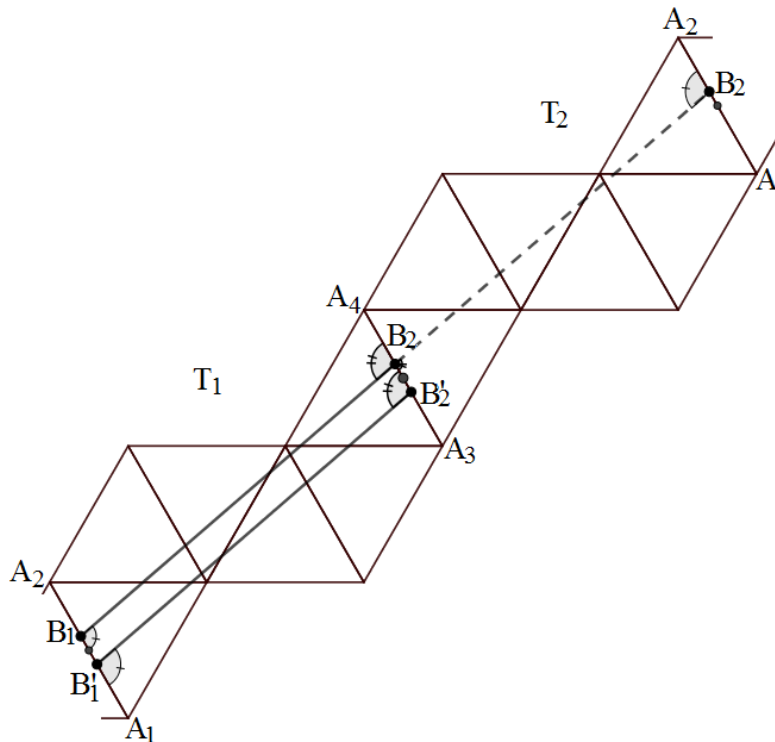


Рис. 12:

Рассмотрим участки развертки вдоль $M_1M_2, M_2M'_1$. Обозначим их соответственно T_1 и T_2 . Они являются равными многоугольниками.

Рассмотрим поворот плоскости Лобачевского на угол π относительно точки M_2 . При таком повороте многоугольник T_1 совмещается с многоугольником T_2 . Посмотрим, куда перейдет отрезок геодезической $B_2B'_1$ после совмещения.

Ребро A_1A_2 , которое содержит B'_1 перейдет в ребро A_2A_1 , которое содержит B_1 . Это значит, что после поворота точка B'_1 так же будет лежать на ребре A_1A_2 многоугольника T_1 , причем длины A_2B_1 и B'_1A_1 равны. Более того, так как γ замкнутая геодезическая, то угол $A_1B_1B_2$ на T_1 равен углу $B_2B'_1A_2$ на T_2 . После поворота угол $B_2B'_1A_2$ на T_2 перейдет в угол $B_2B'_1A_1$ на T_1 (см. рис. 12).

Ребро A_3A_4 развернется. А значит, точка B_2 части T_2 перейдет в точку B'_2 части T_1 , такую, что расстояния A_4B_2 и B'_2A_3 равны. Более того, углы $B_1B_2A_4$ и $B'_1B'_2A_4$ на T_1 будут равны.

Таким образом, на многоугольнике T_1 получим четырехугольник $B_1B_2B'_2B'_1$, сумма внутренних углов которого будет равна 2π . Это противоречит теореме Гаусса-Бонне. Значит, после поворота отрезки геодезической должны совпадать, т.е. точки B_1 и B_2 являются серединами соответствующих ребер (см. рис. 12).

Аналогично доказывается, что точки C_1 и C_2 являются серединами соответствующих ребер.

Таким образом, показали, что γ проходит через середины двух пар противоположных ребер.

□

3 Условия простоты геодезической на конусе и правильном тетраэдре в пространстве Лобачевского

3.1 Геодезические линии на конусе в пространстве Лобачевского

Рассмотрим на евклидовой плоскости или на плоскости Лобачевского замкнутый телесный угол величины α с вершиной в точке O . Отождествим точки X_1 и X_2 на сторонах угла, если расстояние $|OX_1|$ равняется расстоянию $|OX_2|$. Полученное множество с метрикой, индуцированной с плоскости, называется *конусом*. Для любой точки X из конуса, луч OX называется *образующей* конуса, а величина α называется *полным углом* конуса.

Образующие OA и OB на конусе называются *противоположными*, если угол AOB на плоскости равен $\frac{\alpha}{2}$.

Разрезав конус по любой образующей, можем изометрично развернуть его на плоскость в телесный угол величины α .

Исследуем поведение геодезических на конусе, образованном из плоскости Лобачевского.

Рассмотрим плоскость Лобачевского в модели Кэли-Клейна, т.е. в единичном круге с центром в точке O на евклидовой плоскости [13]. После разрезания вдоль образующей OA конус с полным углом α развернется в центральный угол A_1OA_2 величины α . Локально, геодезическая γ на конусе соответствует части хорды круга, которая лежит внутри замкнутого угла A_1OA_2 .

Лемма 3.1. *Если полный угол конуса больше или равен π , то геодезические на нем не имеют точек самопересечения.*

Доказательство. Пусть полный угол конуса равен $\alpha \geq \pi$. Рассмотрим произвольную геодезическую γ на конусе. Пусть OH – образующая, ортогональная γ . На плоскости Лобачевского в модели Кэли-Клейна [13] конус развернется в центральный угол A_1OA_2 величины α такой, что луч OH будет биссектрисой этого угла. Тогда γ будет хордой окружности, ортогональной OH .

Так как величина угла A_1OA_2 больше или равна π , то γ будет полностью лежать внутри этого угла и не будет пересекать стороны OA_1 и OA_2 . Значит, геодезическая на конусе не будет иметь точек самопересечения. \square

Лемма 3.1 справедлива и для евклидова пространства [14].

Прежде чем исследовать геодезические на конусе с полным углом меньше π , введем несколько определений.

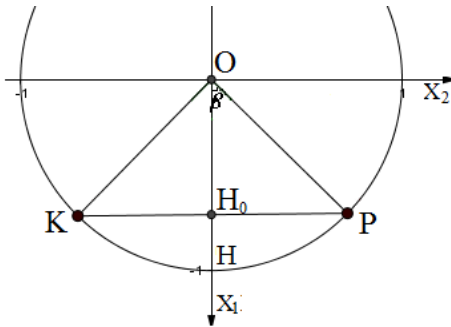


Рис. 13:

Рассмотрим произвольную геодезическую γ на плоскости Лобачевского. В модели Кэли-Клейна γ будет хордой круга PK . Углом параллельности β для геодезической γ будем называть половину центрального угла POK (см. рис.13). Другими словами, проведем луч OH , выходящий из центра O и ортогональный к PK в точке H_0 . Углы H_0OK и H_0OP равны $\beta < \frac{\pi}{2}$ и являются углами параллельности для геодезической γ . Расстояние от точки O до геодезической PK с углом параллельности β равняется [12]:

$$|OH_0| = \ln\left(\operatorname{ctg}\left(\frac{\beta}{2}\right)\right) \quad (3.1)$$

Лемма 3.2. *Пусть полный угол конуса α меньше π .*

1) *Если расстояние между вершиной конуса O и геодезической γ на этом конусе*

меньше $\ln(\operatorname{ctg}(\frac{\alpha}{4}))$, то геодезическая γ имеет хотя бы одну точку пересечения.
 2) Если расстояние между вершиной конуса O и геодезической γ больше или равно $\ln(\operatorname{ctg}(\frac{\alpha}{4}))$, то γ не имеет точек самопересечения.

Доказательство. Пусть γ произвольная геодезическая на конусе с вершиной в точке O , OH — образующая, ортогональная γ в точке H_0 .

Разрежем конус по образующей OA , противоположной к OH и развернем на плоскость Лобачевского в модели Кели-Клейна. Конус перейдет в центральный угол A_1OA_2 , и OH будет биссектрисой данного угла.

Проведем хорду A_1A_2 , ортогональную к OH в точке C . Она будет соответствовать некоторой геодезической на плоскости Лобачевского и ее угол параллельности будет равен $\frac{\alpha}{2}$. Из (3.1) расстояние $|OC|$ между точкой O и геодезической A_1A_2 равняется $|OC| = \ln(\operatorname{ctg}(\frac{\alpha}{4}))$. Рассмотрим два случая.

1) Расстояние от вершины конуса до геодезической γ меньше $\ln(\operatorname{ctg}(\frac{\alpha}{4}))$, т.е. $|OH_0| < |OC|$. Значит γ пересекает OA_1 и OA_2 в точках B_1 и B_2 соответственно.

Так как длины $|OB_1|$ и $|OB_2|$ равны, то точки B_1 и B_2 соответствуют одной и той же точке B на конусе. Получаем, что точка B является точкой самопересечения геодезической γ на конусе.

2) Расстояние от вершины конуса до геодезической γ больше или равно $\ln(\operatorname{ctg}(\frac{\alpha}{4}))$, т.е. $|OH_0| \geq |OC|$. Значит γ проходит целиком внутри угла A_1OA_2 и не пересекает образующие OA_1 и OA_2 . Значит, геодезическая γ не имеет точек самопересечения на конусе. □

На евклидовой плоскости любая геодезическая на конусе с полным углом меньше π имеет точку самопересечения. На плоскости Лобачевского геодезическая на конусе с полным углом меньше π будет иметь точку самопересечения, если она находится на достаточно малом расстоянии от вершины конуса.

Введем число n следующим образом:

$$n = \begin{cases} \frac{\pi}{\alpha} - 1, & \text{если } \pi \text{ делится нацело на } \alpha \\ \left[\frac{\pi}{\alpha} \right], & \text{если } \pi \text{ не делится нацело на } \alpha \end{cases}. \quad (3.2)$$

Для геодезических линий на конусе, образованном из евклидовой плоскости, имеет место следующее утверждение [14].

Утверждение 3.1. Пусть полный угол конуса равен α . Тогда геодезическая линия на этом конусе имеет n точек самопересечения, где n вычисляется по формуле (3.2).

Заметим, что, если $\alpha > \pi$, то целая часть дроби $\frac{\pi}{\alpha}$ равна нулю, и если $\alpha = \pi$, то $\frac{\pi}{\alpha} - 1 = 0$. Это значит, что если полный угол конуса больше или равен π , то геодезические на нем не имеют точек самопересечения. А если полный угол

конуса меньше π , то геодезическая имеет хотя бы одну точку самопересечения на конусе.

Исследуем, сколько точек самопересечения может иметь геодезическая на конусе, образованном из плоскости Лобачевского.

Лемма 3.3. Пусть полный угол конуса α меньше π . Введем число n как указано в (3.2). Пусть d — расстояние от вершины конуса O до геодезической γ на этом конусе. Тогда

- 1) если $d < \ln(\operatorname{ctg}(\frac{n\alpha}{4}))$, то γ имеет n точек самопересечения;
- 2) если $\ln(\operatorname{ctg}((m+1)\frac{\alpha}{4})) \leq d < \ln(\operatorname{ctg}(m\frac{\alpha}{4}))$, то γ имеет m точек самопересечения $m = \overline{1, n-1}$;
- 3) если $d \geq \ln(\operatorname{ctg}(\frac{\alpha}{4}))$, то γ не имеет точек самопересечения.

Доказательство. Аналогично доказательству предыдущей леммы пусть γ произвольная геодезическая на конусе с вершиной в точке O , и OH — образующая, ортогональная γ в точке H_0 . OA образующая, противоположная к OH . Центральный угол A_1OA_2 является разверткой конуса, после разрезания вдоль OA , и OH будет биссектрисой данного угла (см. рис. 14).

Обозначим часть конуса A_1OH через S_1 , а часть A_2OH через T_1 .

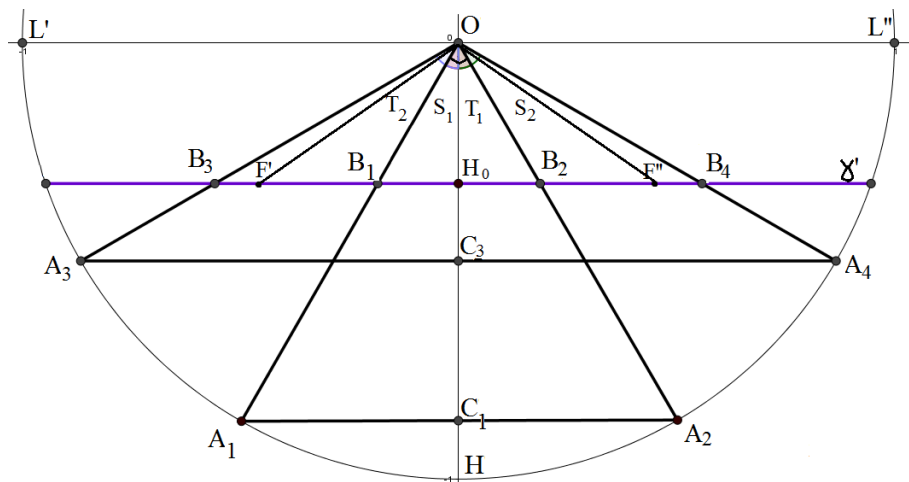


Рис. 14:

В лемме 3.2 мы уже доказали, что если $d \geq \ln(\operatorname{ctg}(\frac{\alpha}{4}))$, то γ не имеет точек самопересечения.

Рассмотрим случай, когда $d < \ln(\operatorname{ctg}(\frac{\alpha}{4}))$. Через центр модели O проведем диаметр $L'L''$, ортогональную OH . Он разделит плоскость на две части. Будем рассматривать ту часть плоскости, в которой лежит геодезическая γ .

Из точки O проведем лучи, которые будут образовывать с лучом OH углы, кратные $\frac{\alpha}{2}$. Всего таких лучей будет $2n$ штук. Обозначим их $OA_3, OA_4, OA_5, OA_6, \dots, OA_{n-1}, OA_n$ как на рис. 14.

Будем теперь наворачивать нашу полуплоскость на конус. Она покроет конус n раз. Лучи OA_{4j+1} и OA_{4j+2} , $j = \overline{1, \frac{n}{4}}$ перейдут в образующую OA , а лучи OA_{4k+3}

и OA_{4k+4} , $k = \overline{1, \frac{n}{4}}$ перейдут в образующую OH .

Более того углы $A_{4m+3}OA_{4m+5}$, $m = \overline{1, n/4}$ и $A_{4p+2}OA_{4p+4}$, $p = \overline{1, \frac{n}{4}}$ будут эквивалентны части S_1 на конусе, а углы $A_{4m+1}OA_{4m+3}$, $m = \overline{1, \frac{n}{4}}$ и $A_{4p+4}OA_{4p+6}$, $p = \overline{1, \frac{n}{4}}$ будут соответствовать части T_1 на конусе. Обозначим эти части S_i и T_i соответственно, как показано на рис. 14.

Проведем хорды A_kA_{k+1} , $k = \overline{1, n}$. Обозначим C_k точку пересечения OH с хордой A_kA_{k+1} . Угол параллельности для геодезической A_kA_{k+1} равен $(\frac{\alpha}{2}k)$. Из (3.1) получаем, что длина отрезка OC_k равна $ln(ctg(\frac{\alpha}{4}k))$.

Рассмотрим первый случай, когда $d < ln(ctg(\frac{n\alpha}{4}))$. Тогда хорда γ будет пересекать все лучи OA_k , $k = \overline{1, 2n}$. Обозначим эти точки пересечения B_k соответственно.

Пара точек B_k и B_{k+1} находится на одинаковом расстоянии от вершины, а значит, они соответствуют одной и той же точке B_k , $k = \overline{1, n}$ на конусе. Получаем, что точка B_k является точкой самопересечения геодезической γ на конусе. Таких точек n штук.

Покажем, что других точек самопересечения γ нет методом от противного. Пусть F – точка самопересечения γ , не совпадающая с B_k , $k = \overline{1, n}$. Точке F соответствуют две точки F' и F'' на γ на развертке конуса такие, что F' и F'' равноудалены от центра O и угол $F'OF''$ кратный α (см. рис. 14). То есть F' и F'' лежат на γ симметрично относительно H . Пусть F' лежит слева от OH , а F'' – справа. Если F' не совпадает ни с одной точкой B_i , то она лежит внутри одного из углов A_iOA_{i+2} , соответствующего либо части T_1 либо S_1 на конусе. Если точка F' лежит внутри угла, что соответствует части T_1 , то симметричная ей точка F'' лежит внутри угла, соответствующего части S_1 . Но точки части S_1 не совпадают с точками части T_1 . Это значит, что точки F' и F'' принадлежат разным частям конуса. Пришли к противоречию. Следовательно, других точек самопересечения нет.

Аналогично можно рассмотреть случаи, когда $ln(ctg((m+1)\frac{\alpha}{4})) \leq d < ln(ctg(m\frac{\alpha}{4}))$, где $m = \overline{1, n-1}$. Тогда хорда γ будет пересекать лучи OA_i и OA_{i+1} , где $i = \overline{1, (2m-1)}$ в точках B_i и B_{i+1} соответственно и не будет пересекать лучи OA_i и OA_{i+1} , где $i = \overline{2m, n}$. Точки B_i и B_{i+1} эквивалентны между собой $i = \overline{1, m}$. Получим ровно m точек самопересечения.

□

3.2 Доказательство теоремы 2

Лемма 3.4. *Если геодезическая на правильном тетраэдре в пространстве Лобачевского пересекает подряд три ребра, сходящиеся в одну вершину, и одно из них дважды, то такая геодезическая имеет точку самопересечения.*

Доказательство. Рассмотрим правильный тетраэдр $A_1A_2A_3A_4$ в пространстве Лобачевского. Рассмотрим трехгранный угол при вершине A_4 , образованный гра-

нями $A_1A_4A_2$, $A_2A_4A_3$, $A_3A_4A_1$. Пусть γ пересекает ребра A_4A_1 , A_4A_2 и A_4A_3 подряд в точках X_1 , X_2 , X_3 соответственно и далее опять пересекает ребро A_4A_1 в точке Y_1 (см. рис. 15). Если Y_1 совпадает с X_1 , то очевидно, что это точка самопересечения для γ .

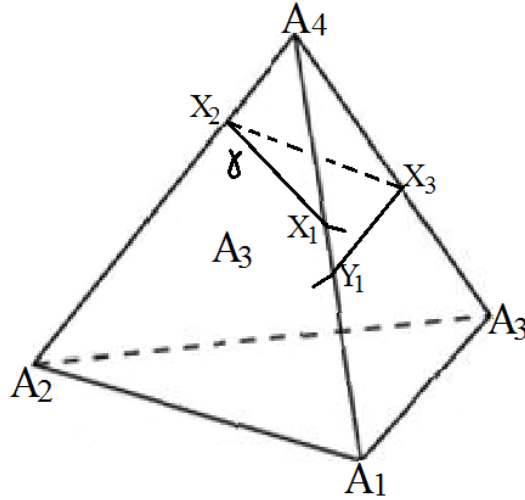


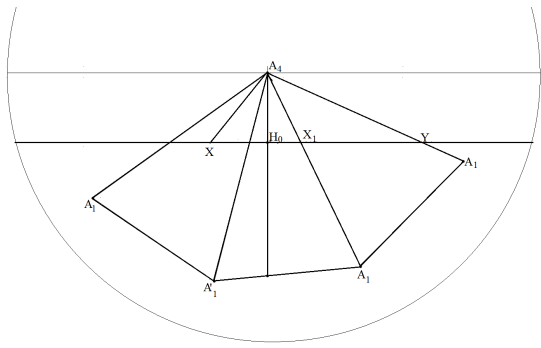
Рис. 15:

Рассмотрим случай, когда Y_1 не совпадает с X_1 . Не ограничивая общности, предположим, что длина A_4Y_1 больше длины A_4X_1 .

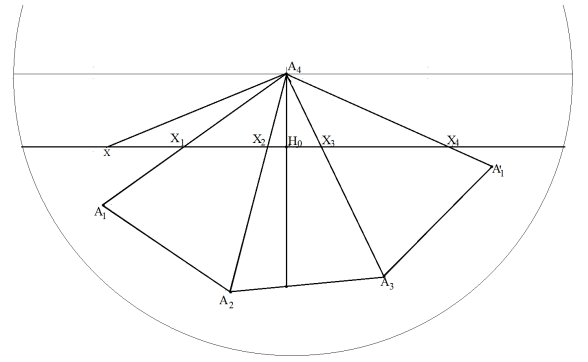
Разрежем трехгранный угол по образующей A_4A_1 и развернем на плоскость Лобачевского в модели Кэли-Клейна. Вершину A_4 поместим в центр окружности абсолюта. Трехгранный угол развернется в выпуклый многоугольник $A_1A_4A'_1A_3A_2$, а часть геодезической $X_1X_2X_3Y_1$ развернется в прямолинейный отрезок на нем. Пусть хорда PK содержит отрезок X_1Y_1 .

На развертке получаем треугольник $X_1A_4Y_1$, причем угол при вершине A_4 меньше π . Проведем высоту треугольника A_4H_0 . Рассмотрим $\rho(A_4, X)$ функцию расстояния от вершины A_4 до точек на геодезической $X \in \gamma$. В полных римановых многообразиях неположительной кривизны функция расстояния от любой фиксированной точки до точек на геодезической является выпуклой функцией [11]. Значит, функция $\rho(A_4, X)$, где X произвольная точка на γ , является выпуклой. Так как A_4H_0 ортогонально геодезической, значит H_0 является точкой минимума функции $\rho(A_4, X)$. Возможны два случая: H_0 принадлежит отрезку X_1Y_1 или H_0 лежит вне отрезка X_1Y_1 .

Если H_0 не принадлежит отрезку X_1Y_1 (см. рис. 16 а)). Так как длина A_4Y_1 больше длины A_4X_1 , то точка H_0 лежит на PK правее X_1 . Будем двигать X вдоль геодезической от точки X_1 в сторону H_0 . Так как функция $\rho(A_4, X)$ выпуклая, то при таком движении расстояние от A_4 до X будет уменьшаться. Как только точка X совпадет с H_0 , достигнем минимального расстояния от вершины



a)



b)

Рис. 16:

A_4 до геодезической. Получаем, что часть геодезической X_1H_0 лежит внутри треугольника $X_1A_4Y_1$ на развертке. При движении далее расстояние $\rho(A_4, X)$ будет увеличиваться.

Если H_0 принадлежит отрезку X_1Y_1 (см. рис. 16 b)), то будем двигать X вдоль геодезической от точки X_1 в сторону, противоположную H_0 . Так как в точке H_0 достигается минимальное расстояние от A_4 до γ , то при движении X в противоположную сторону расстояние $\rho(A_4, X)$ тоже будет увеличиваться.

В обоих случаях это значит, что геодезическая должна выйти за границу треугольника $X_1A_4Y_1$, а значит, она пересечет отрезок X_1Y_1 . Эта точка и будет точкой самопересечения геодезической γ на тетраэдре.

□

Найдем необходимое условие, при котором замкнутая геодезическая не будет иметь точек самопересечения.

Обозначим d_i расстояние от вершины A_i тетраэдра до геодезической γ . Тогда $d = \min_{i=\overline{1,4}} d_i$ наименьшее из расстояний от вершин тетраэдра до γ . В этих обозначениях верна теорема 2.

Теорема 2. Пусть γ простая замкнутая геодезическая на правильном тетраэдре в пространстве Лобачевского. Тогда

$$\operatorname{th}(d) > \cos\left(\frac{3\alpha}{2}\right) \frac{\sqrt{2 \cos(\alpha) - 1}}{\cos(\alpha)}, \quad (3.3)$$

где α — плоский угол грани тетраэдра.

Доказательство. Пусть минимум расстояния от вершин тетраэдра до γ достигается на вершине A_4 , т.е. $d = d_4$. Пусть расстояние d_4 достигается на грани $A_2A_4A_3$. Проведем образующую A_4H , ортогональную γ в точке H_0 . Обозначим β угол между A_4H и A_4A_2 . Не нарушая общности, предположим, что $0 \leq \beta \leq \frac{\alpha}{2}$.

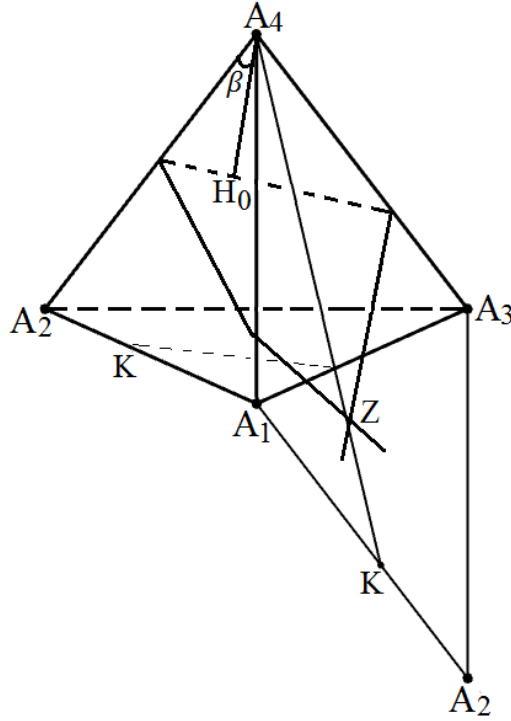


Рис. 17:

Развернем нижнюю грань тетраэдра $A_1A_2A_3$ по ребру A_1A_3 в плоскость грани $A_1A_3A_4$. Рассмотрим трехгранный угол при вершине A_4 , образованный гранями $A_1A_4A_2$, $A_2A_4A_3$ и четырехугольником $A_3A_4A_1A_2$.

Проведем образующую A_4K такую, что суммарный плоский угол между A_4H и A_4K равняется $\frac{3\alpha}{2}$. Тогда A_4K будет лежать на четырехугольнике $A_1A_4A_3A_2$ и образовывать с A_4A_1 угол равный $(\frac{\alpha}{2} - \beta)$. Заметим, что если $\beta = 0$, то A_4K совпадает с диагональю четырехугольника. Если $\beta = \frac{\alpha}{2}$, то A_4K совпадает с A_1A_4 и имеет наименьшую длину.

Разрежем трехгранный угол по образующей A_4K и развернем на плоскость Лобачевского в модели Кели-Клейна. Поместим вершину A_4 в центр окружности абсолюта. Трехгранный угол перейдет в выпуклый многоугольник $K_1A_4K_2A_3A_2A_1$ (см. рис. 18). Величина угла $K_1A_4K_2$ равен 3α . Образующая A_4H будет лежать на биссектрисе угла $K_1A_4K_2$. Геодезическая γ перейдет в часть хорды окружности, ортогональной к A_4H в точке H_0 .

Так как длина A_4K не меньше длины ребра тетраэдра, то можем на лучах A_4K_1 и A_4K_2 отметить точки P_1 и P_2 соответственно такие, что расстояние $|A_4P_1|$ равно расстоянию $|A_4P_2|$ и равняется длине ребра тетраэдра a (см. рис. 18). Проведем отрезок P_1P_2 , ортогональный к A_4H в точке H_p . Из прямоугольного треугольника $A_4H_pP_1$ получаем, что длина $|A_4H_p|$ удовлетворяет [12]:

$$\text{th}(|A_4H_p|) = \cos\left(\frac{3\alpha}{2}\right) \text{th}(a). \quad (3.4)$$

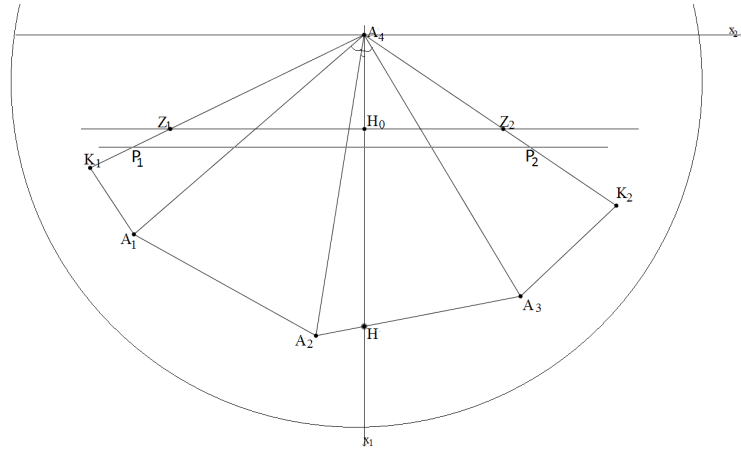


Рис. 18:

Тогда, если $d \leq |A_4H_p|$, то γ лежит выше отрезка P_1P_2 , а значит, пересекает лучи A_4K_1 и A_4K_2 в точках Z_1 и Z_2 соответственно.

Навернем обратно развертку на тетраэдр. Отрезки A_4K_1 и A_4K_2 перейдут в отрезок A_4K на четырехугольнике $A_1A_4A_3A_2$. Тогда точки Z'_1 и Z'_2 перейдут в одну точку Z на тетраэдре. Значит, Z будет точкой самопересечения геодезической γ .

Таким образом, получили, для того, чтобы геодезическая γ не имела точек самопересечения на правильном тетраэдре в пространстве Лобачевского, необходимо, чтобы d было больше длины $|A_4H_p|$. С учетом (3.4), это равносильно неравенству

$$\text{th}(d) > \cos\left(\frac{3\alpha}{2}\right) \text{th}(a). \quad (3.5)$$

Так как $\text{th}(a) = \frac{\sqrt{2\cos(\alpha)-1}}{\cos(\alpha)}$, получаем нужное условие.

□

4 Доказательство теоремы 3

Теорема 3. *На любом правильном тетраэдре в пространстве Лобачевского существует, с точностью до изометрии, ровно одна замкнутая геодезическая в каждом классе $\Gamma(2)$, $\Gamma(3)$ и $\Gamma(3, 2)$, и она является простой.*

Замечание 4.1. *В каждом из этих классов, без учета изометрии тетраэдра, существует ровно три замкнутые геодезические.*

Доказательство. Для доказательства этой теоремы построим явно геодезическую в каждом классе. Тогда из леммы 2.2 будет следовать, что если существуют другая геодезическая в каком-то из этих классов, то она эквивалентна построенной, а значит, совпадает с ней.

1) Построим замкнутую 2-однородную геодезическую.

Напомним, что геодезическая называется *2-однородной*, если она пересекает подряд только два ребра, исходящие из одной вершины.

Возьмем две пары противоположных ребер $(A_1A_2; A_3A_4)$ и $(A_1A_3; A_2A_4)$. Отметим середины этих ребер точками $(B_1; B_2)$ и $(C_1; C_2)$ соответственно. Соединим последовательно эти точки кратчайшими на гранях, содержащими эти ребра (см. рис. 19). Покажем, что кривая γ , соответствующая $B_1C_1B_2C_2$, является 2-однородной простой замкнутой геодезической на данном тетраэдре.

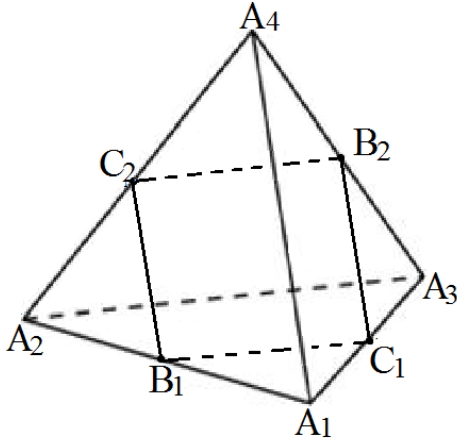


Рис. 19: 2-однородная геодезическая

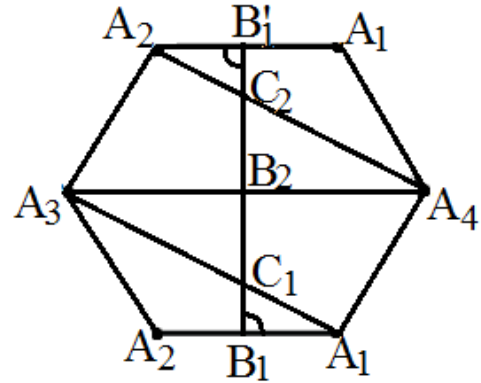


Рис. 20: Развертка тетраэдра вдоль замкнутой 2-однородной геодезической (схема)

Для этого рассмотрим развертку тетраэдра $A_1A_2A_3A_4$ на плоскость. Кривая γ развернется в прямолинейный отрезок $B_1C_1B_2C_2B_1'$ (см. рис. 20). Так как треугольники $B_1A_4C_1$, $C_1A_3B_2$, $B_2A_4C_2$ и $C_2A_2B_1'$ являются равными (по двум сторонам и углу между ними), то кривая $B_1C_1B_2C_2B_1'$ является прямолинейным отрезком на развертке. Так же углы $\angle A_1B_1C_1$ и $\angle A_2B_1'C_2$ равны. $B_1C_1B_2C_2B_1'$ действительно соответствует замкнутой геодезической на тетраэдре. По построению она является простой 2-однородной.

Еще две геодезические из класса $\Gamma(2)$ можно построить аналогично, взяв другие пары противоположных ребер. Из леммы 2.2 следует, что если на правильном тетраэдре в пространстве Лобачевского существует замкнутая 2-однородная геодезическая, то она совпадает с одной из трех геодезических типа $\Gamma(2)$. А значит, на правильном тетраэдре в пространстве Лобачевского существует всего три замкнутые 2-однородные геодезические (и они равны с точностью до изометрии тетраэдра).

2) Построим замкнутую 3-однородную геодезическую.

Она должна удовлетворять следующим свойствам:

1) если геодезическая пересекает подряд два ребра, исходящие из одной вершины,

то пересекает подряд и третье ребро, исходящее из той же вершины;
 2) для каждой вершины тетраэдра существует луч такой, что он не пересекает отрезки геодезической, находящиеся на гранях при этой вершине (см. рис. 21).

Возьмем две пары противоположных ребер $(A_1A_2; A_3A_4)$ и $(A_1A_3; A_2A_4)$. Отметим середины этих ребер точками $(B_1; B_2)$ и $(C_1; C_2)$ соответственно.

Соединим точки B_1 и C_1 , проведя геодезическую через грани $A_1A_4A_2$ и $A_1A_4A_3$ (условно выбросив грань $A_1A_2A_3$). Она будет пересекать ребро A_4A_1 . Далее аналогично соединим точки C_1 и B_2 геодезической, проходящей через грани $A_1A_3A_2$ и $A_4A_3A_2$. Она пересекает ребро A_3A_2 . Аналогично соединим точки B_2 и C_2 геодезической, проходящей через ребро A_4A_1 , и точки C_2 и B_1 геодезической, пересекающей A_1A_3 (см. рис. 21). Покажем, что кривая γ , соответствующая $B_1C_1B_2C_2B_1$, является замкнутой геодезической на данном тетраэдре.

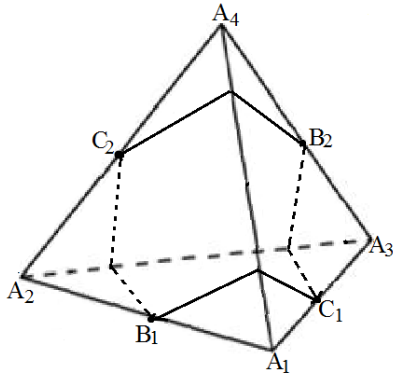


Рис. 21: 3-однородная геодезическая

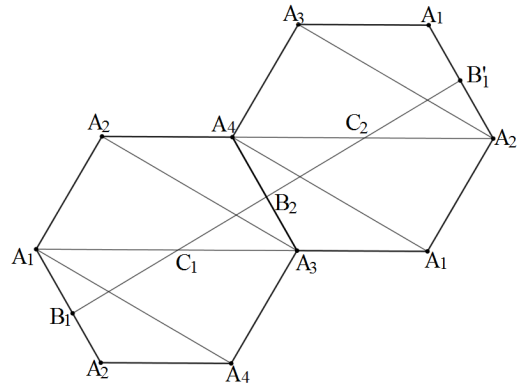


Рис. 22: Развертка тетраэдра вдоль замкнутой 3-однородной геодезической (схема)

Из построения видим, что если γ пересекает два ребра, исходящие из одной вершины, то пересекает подряд и третье ребро, исходящее из той же вершины. Рассмотрим развертку тетраэдра вдоль геодезической γ (см. рис. 22). Так как B_1, B_2, C_1, C_2 являются серединами ребер, то треугольники $B_1A_1C_1, C_1A_3B_2, B_2A_4C_2$ и $C_2A_2B_1'$ равны (по двум сторонам и углу между ними). Тогда углы $\angle A_1B_1C_1$ и $\angle A_2B_1'C_2$ тоже равны. Значит γ действительно 3-однородная замкнутая геодезическая. Более того из построения она является простой. Еще две замкнутые 3-однородные геодезические строятся аналогично, взяв другие пары противоположных ребер.

Из леммы 2.2 следует, что если на правильном тетраэдре в пространстве Лобачевского существует замкнутая 3-однородная геодезическая, то она совпадает с одной из трех геодезических типа $\Gamma(3)$. А значит, на правильном тетраэдре в пространстве Лобачевского существует всего три замкнутые 3-однородные геодезические.

3) Построим замкнутую (3,2)-однородную геодезическую.

Она пересекает по три ребра, исходящие из двух различных вершин, далее пересекает по два ребра, исходящие из двух различных вершин, потом снова пересекает по три ребра, исходящие из двух различных вершин, и далее опять пересекает по два ребра, исходящие из двух различных вершин и т.д.

Например, пусть (3,2)-однородная геодезическая γ пересекла подряд ребра A_2A_3 , A_2A_4 и A_2A_1 (т.е. три ребра, выходящие из вершины A_2) и ребра A_1A_4 , A_1A_4 (т.е. с учетом ребра A_2A_1 пересекла подряд три ребра, выходящие из вершины A_1). Далее γ должна пересекать ребро A_2A_4 (тогда относительно вершины A_4 получим два ребра: A_1A_4 и A_2A_4) и ребро A_2A_3 (два ребра относительно вершины A_2). Теперь относительно вершины A_3 геодезическая должна пересечь подряд три ребра, т.е. еще A_3A_1 и A_3A_4 и относительно A_4 нужно пересечь подряд три ребра, т.е. еще A_4A_2 и A_4A_1 . А далее относительно A_1 γ может пересечь ребро A_1A_3 и далее пойдём на ребро A_3A_2 . И так далее.

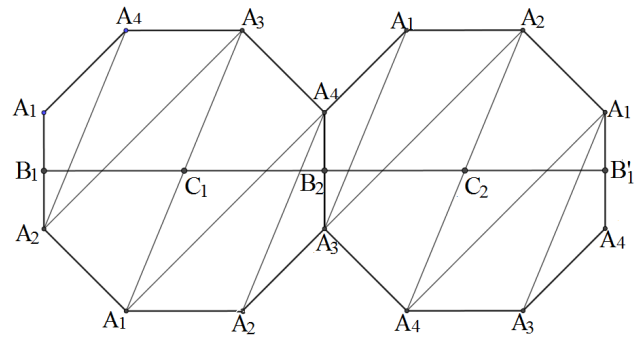
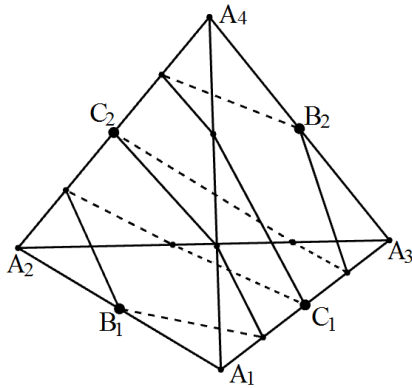


Рис. 23: 32-однородная геодезическая

Рис. 24: Развертка (3,2)-однородной геодезической

Итак, построим замкнутую (3,2)-однородную геодезическую. Возьмем две пары противоположных ребер $(A_1A_2; A_3A_4)$ и $(A_1A_3; A_2A_4)$. Отметим середины этих ребер точками $(B_1; B_2)$ и $(C_1; C_2)$ соответственно.

Соединим точки B_1 и C_1 проводя геодезическую через грани $A_1A_4A_2$, $A_1A_4A_3$ и $A_1A_2A_3$. Она будет пересекать ребра A_4A_2 и A_2A_3 . Далее соединим точки C_1 и B_2 геодезической, проходящей через грани $A_1A_4A_3$, $A_1A_4A_2$ и $A_2A_4A_3$. Она пересекает ребра A_4A_1 и A_4A_2 . Аналогично соединим точки B_2 и C_2 геодезической, проходящей через ребра A_3A_1 и A_3A_2 , и точки C_2 и B_1 геодезической, пересекающей A_1A_4 и A_1A_3 (см. рис. 23). Покажем, что построенная кривая γ , является замкнутой (3,2)-однородной геодезической на данном тетраэдре.

Рассмотрим развертку тетраэдра вдоль γ (см. рис. 24). И построения видим, что части развертки вдоль отрезка B_1C_1 и C_1B_2 совмещаются поворотом на π относительно точки C_1 . А тогда угол $B_1C_1A_1$ равен углу $A_3C_1B_2$. Аналогично участки развертки вдоль C_1B_2 и B_2C_2 , а так же вдоль B_2C_2 и C_2B_1' совмещаются

поворотами на π относительно точек B_2 и C_2 соответственно. И этого следует, что γ действительно является прямолинейным отрезком на развертке тетраэдра. Более того, углы $A_2B_1C_1$ и $A_1B'_1C_2$ равны. Т.е. γ действительно замкнутая геодезическая на тетраэдре. По построению γ является $(3,2)$ -однородной и не имеет точек самопересечения.

Еще две замкнутые $(3,2)$ -однородные геодезические строятся аналогично, выбирая другие пары противоположных ребер. Из леммы 2.2 следует, что существует всего три замкнутые $(3,2)$ -однородные геодезические на правильном тетраэдре в пространстве Лобачевского.

□

Список литературы

- [1] *Биркгоф Дж. Д.* Динамические системы. - М.; Л.: ОГИЗ-ГИТТЛ, 1941. - 407 с.
- [2] *Люстерник Л. А. , Шнирельман Л. Г.* Топологические методы в вариационных задачах и их приложения к дифференциальной геометрии поверхностей - М.: УМН, 1947, -Т.2, - Вып. 1(17) -166-217 с
- [3] *Аносов Д. В.* Геодезические потоки на замкнутых римановых многообразиях отрицательной кривизны —Тр. МИАН СССР, 1967, -Т. 90 —210 с.
- [4] *Тайманов И. А.* Замкнутые экстремали на двумерных многообразиях. - М.: УМН, 1992, - Т.47, - Вып. 2(284) -143-185 с
- [5] *Клингенберг В.* Лекции о замкнутых геодезических. Пер. с англ. - М.: Мир, 1982, -416 с.
- [6] *Александров А. Д.* Выпуклые многогранники. - М., Л.: ГИТТЛ, 1950 . - 429 с.
- [7] *Galperin G. A.* Convex polyhedra without simple closed geodesics Regul. Chaotic Dyn., 8:1 (2003), — 45–58.
- [8] *Протасов В. Ю.* Замкнутые геодезические на поверхности симплекса. - М.: Матем. сб., 2007, -Т.198, номер 2 -С. 103-120.
- [9] *Fuchs D. ,Fuchs E.* Closed geodesics on regular polyhedra. - Moskow mathematical journal, 2007. - 265-279 с.
- [10] *Fuchs D.* Geodesics on a regular dodecahedron. - preprint, - Max Planck Institute f'ur Mathematik, Bonn,. - 2009.
- [11] *Бураго Ю. Д. ,Залгаллер В. А.* Введение в риманову геометрию . -СПб.: Наука, 1994. - 318 с.
- [12] *Прасолов В. В.* Гометрия Лобачевского. - М.: МЦНМО, 2004 . - 89 с.
- [13] *J. Cannon, W. Floyd, R. Kenyon, W. Parry* Hyperbolic Geometry – Flavors of Geometry, - MSRI Publications, Volume 31, 1997. - p.59-115
- [14] *Люстерник Л. А.* Кратчайшие линии. Вариационные задачи. - М.; Л.: ГИТТЛ, 1955. - 104 с.

Физико-технический институт низких температур им. Б.И. Веркина;
Харьковский национальный университет им. В. Н. Каразина.
email: aborisenk@gmail.com, suhdaria0109@gmail.com